

$\text{CrCl}_2$

VII 1312

1961

C<sub>6</sub>Cl<sub>2</sub> (2c)

Oswald H.R.

Helv. chim. acta, 1961, 44, n<sup>4</sup>,  
1049-1054.

PNEX, 1962, 15210      8C12 OF 12.

Mer

$\text{CrCl}_2(2)$  summer 1721.

1963

u.n.

L.Brewer? G.R.Somayajulu et all.  
J.Chem. Rev. 1963, 63, III

THE NODYNAMIC PROPERTIES.....  
))

KCl, NaCl, CsCl, RbCl,  
CaCl, BaCl, MgCl, SrCl,  
ZnCl, CdCl, HgCl, TiCl<sub>2</sub>, CrCl<sub>2</sub>,  
MnCl<sub>2</sub>, FeCl<sub>2</sub>, CoCl<sub>2</sub>, NiCl<sub>2</sub>  
(spekr. dannie)

V-763

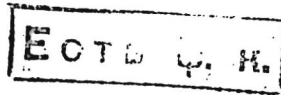
1963

Pearson R.G., Gray H.B.

Inorgn. Chem., 1963, 2, N2, 358-63.

JK., 1964, 2B34

J



Arch Nagarajan Y. 1964

(Dir) J. Molec. Spectrosc., 1964, 13,  
No. 4, 361-392.

Средние асимметрические ко-  
вращающий и эндофрагмический, сопро-  
цессия Балтийского - Пюри-  
ко в некоторых циклических  
и цис-изомерных системах - ди-  
гидрогеналигах.

Омск А-350

2. 1965. 21.

*B88* VI 4031

1964

sil. post. ( $\text{MSiF}_6 \cdot 6\text{H}_2\text{O}$ , (M=Ni, Mn, Fe),  $\text{NiCl}_2 \cdot 6\text{H}_2\text{O}$ ,  
 $\text{MnCl}_2 \cdot 4\text{H}_2\text{O}$ ,  $\text{MSO}_4 \cdot 7\text{H}_2\text{O}$  (M=Zn, Mg),  $\text{CuSO}_4 \cdot 5\text{H}_2\text{O}$ ,  
 $\text{CrCl}_3 \cdot 6\text{H}_2\text{O}$ )

Nakagawa, J., Shimanouchi  
Spectrochimica acta, 1964, 20, n. 3, 429-39

Infrared absorption spectra of aqua complexes  
and the nature of co-ordination bonds

PJF, 1966, 5D392

*Paramecium* /

J.

Cr Cl<sub>2</sub>

De Kock C.W., OM 41478/1966  
Green D. M.

смесь  
ионов.

J. Chem. Phys., 1966, 44, N 12,  
4387.

Зависимость смесей ионов  
ионов от температуры не-  
известна. Составы  
записаны в таблице в разобран-

Home cocumardises.

(cme.  $VCl_2$ )

Фториды, хлориды, бромиды, иодиды Be, Mg, Li, 1968  
Zn, Cd, Hg, Ti, V, Cr, Mn, Fe, Co, Ni, Cu, 67  
HgClBr, HgBr<sub>2</sub> (хим. ход. спектр. асп.)  
атом. коэффициент 9

Cyvin S.J., Vizi B. VI 6991

Veszprém, Veszprém, Szeged, Kozlony, 1968,

10 (9)

11(1), 83-9

Magn. amplitudes and surimaging  
effects of vibration for some linear 50

CrCl<sub>2</sub>

Clyburn

M.N.

UK u y.f

werkspn

C.A. 1970 72-2

74941 Matrix-isolation study of the infrared and ultraviolet spectra of several first-series transition-metal dichlorides. Jaconx Marilyn E.; Milligan, Dolphus E. (Nat. Bur. of Stand., Washington, D.C.). *J. Chem. Phys.* 1969, 51(9), 4143-55 (Eng). Individual mols. of CrCl<sub>2</sub>, MnCl<sub>2</sub>, FeCl<sub>2</sub>, CoCl<sub>2</sub>, and NiCl<sub>2</sub> have been isolated in an Ar matrix at 14°K in sufficient concn. for ir and uv spectroscopic study not only by using the conventional effusion cell as a source of the MCl<sub>2</sub> species, but also by trapping the products of the reaction of Cl with the hot transition-metal surface. Studies of the ir spectra of all of these species in the 250-4000-cm<sup>-1</sup> spectral range are consistent with a linear structure. The uv absorptions in the 2000-5500-Å spectral range are in good agreement with the previously reported gas-phase absorptions. However, the absorption observed for matrix-isolated NiCl<sub>2</sub> between 4400 and 5000 Å must be attributed to 3 different electronic transitions, 1 of which exhibits extensive band structure. A MO treatment involving participation of the 3d Ni electrons in the bonding of the mol. predicts the occurrence of several transitions in this energy range and provides a framework for understanding the appearance of extensive vibrational structure in several of the electronic transitions of NiCl<sub>2</sub>. RCJQ

1969

$\text{CrCl}_2$

Linevskij M. J.

1968

U.S. Govt. Res. Develop. Rep.,

1968, 68, N16, 63

(all.  $\text{KPSO}_2$ ) III

CrCl<sub>2</sub>

VI-4028

1969

10 Б193. Изучение инфракрасных и ультрафиолетовых спектров поглощения нескольких матрично-изолированных дихлоридов переходных металлов первого ряда.  
Locox Matilud E., Milligan Dolohus E. Matrix-isolation study of the infrared and ultraviolet spectra of several firstseries transition-metal dichlorides. «J. Chem. Phys.», 1969, 51, № 9, 4143—4155 (англ.)

анализ  
6 мая 1970

Измерены спектры ИК-(250—4000 см<sup>-1</sup>) и УФ-поглощения (2000—5500 Å) CrCl<sub>2</sub> (I), MnCl<sub>2</sub> (II), FeCl<sub>2</sub> (III), CoCl<sub>2</sub> (IV) и NiCl<sub>2</sub> (V), матрично-изолированных в Аг при 14° К. В ИК-спектре I в Аг матрице обнаружена интенсивная полоса поглощения ~490 см<sup>-1</sup>, отнесенная к антисимм. вал. кол. связей Cr—Cl (v<sub>3</sub>) линейной I. Ряд полос, наблюдающихся в области 470—475 см<sup>-1</sup>

+4

X. 1970. 10



предположительно отнесен к колебаниям ассоциированных молекул I, расположенных в различных по симметрии положениях в кристаллич. матрице. В ИК-спектре II обнаружены 3 полосы в области  $471-477 \text{ см}^{-1}$ , относительная интенсивность которых согласуется с их отнесением к вал. кол.  $\nu$  Mn—Cl различных изотопич. вариантов II. В ИК-спектре образца II, полученного осаждением из перегретых паров ( $\sim 530^\circ$ ) обнаружена полоса  $384 \text{ см}^{-1}$ , которая может быть связана с образованием MnCl. ИК-спектры III—V оказались сходными с ИК-спектром I, что свидетельствует о линейной структуре III—V. Спектры УФ-поглощения матрично-изолированных I—V оказались близкими со спектрами газообр. I—V. Вид УФ-спектра V в области 4400—5000 Å может быть объяснен существованием 3 различных электронных переходов. Расчет с учетом вклада 3d электронов Ni также предсказывает существование нескольких электронных переходов в этой области.

Г. Кузьин

Grillz

[A-1438]

1969

Pi, op. KB.  
avtak.  
kongedømt.

Ceyvin S. J.,  
Kgl. Norske Vidensk. Selsk.  
Selsk. Skr. 1969,  
part I, nr. 1, 20 pp.

Cilla (2)

[Om. 20274]

1971

(08202)

Fuerer D.M.,

Greaves

Progress in Inorg. Chem.,  
1971, 14, 119-172.

VII 6130  
2: (CrCl<sub>2</sub>, VCl<sub>2</sub>, FeCl<sub>2</sub>, CoCl<sub>2</sub>,  
NiCl<sub>2</sub>, CuCl<sub>2</sub>) (2g) ♀ 6

1971

Smith D.W.,

Inorg. chim. acta Revs., 1971, 5, no. 2,  
231-240 (ahrs).

Ligand field splittings in non-cubic  
complexes. I Analysis of the d-d spectra  
of the gaseous dichlorides of the  
first transition series | 2  
Reviews, 1971, 24529

$\text{CaCl}_2$ ,  $\text{ScCl}_2$ ,  $\text{TiCl}_2$ ,  $\text{VCl}_2$ , (cm $^{-1}$ ), 1971  
 $\text{CrCl}_2$ ,  $\text{MnCl}_2$ ,  $\text{FeCl}_2$ ,  $\text{NiCl}_2$ , (cm $^{-1}$ ) 6162  
 $\text{SeCl}_3$ ,  $\text{TiCl}_3$ ,  $\text{TiCl}_4$  768 Vi VII  
Hastie J.W., Hauge R.H., Margrave J.A.

High Temp. Sci., 1971, 3, N3, 257-74 (part)

Infrared spectra and geometries  
for the dichlorides of calcium,  
scandium, titaniun, vanadium,  
chromium, manganese, iron,  
and nickel.

10

(4) 20 CA, 1971, 75, N10, 69061m

$\text{CrCl}_2$  1975  
автоморфозам ( $\text{KXH}$ )

(A.P) Mambeeba M.D.

Macc - спираль. мелкого -  
бассе  $\text{CrCl}_2$  и смешан  
 $\text{KCl}$ ,  $\text{RbCl}$ ,  $\text{CsCl}$  //  $\text{CrCl}_2$

отмечено 6.2.87

1978

$\text{CrCl}_2$

Кв. расчет

д.н.

+1  $\text{CuCl}_2$

$\text{CuCl}_2$

ж. 1978 № 14

14 Б57. Неэмпирические расчеты методом МО основных и возбужденных состояний мономерных линейных дихлоридов  $\text{MCl}_2$  ( $\text{M}=\text{Cr}, \text{Co}, \text{Cu}$ ). Garner C. Da-

vid, Hillier Ian H., Wood Carol. Ab initio molecular orbital calculations of the ground and excited states of the monomeric linear dichlorides  $\text{MCl}_2$  (where  $\text{M}=\text{Cr}, \text{Co}$ , or  $\text{Cu}$ ). «Inorg. Chem.», 1978, 17, № 1, 168—172 (англ.)

Методом ССП МО ЛКАС с учетом конфигурац. взаимодействия (КВ) в базисе сгруппированных гауссовских функций проведены расчеты основных и возбужденных состояний газообразных дихлоридов:  $\text{CrCl}_2$  (I),  $\text{CoCl}_2$  (II) и  $\text{CuCl}_2$  (III). На основании полученных результатов идентифицированы полосы поглощения в электронных спектрах дихлоридов. Для I поглощение в областях 0,54 и 0,9  $\mu\text{мм}^{-1}$  обусловлено переходами  ${}^5\Sigma_{\text{e}}^+ \rightarrow {}^5\Pi_g$  и  ${}^5\Sigma_{\text{g}}^+ \rightarrow {}^5\Delta_g$ .  ${}^4\Phi_g$  найдено основным состоянием для II, а переходы  ${}^4\Phi_g \rightarrow {}^4\Delta_g$ ,  ${}^4\Phi_g \rightarrow {}^4\Sigma_g^-$  и  ${}^4\Phi_g \rightarrow {}^4\Pi_g$  отвечают за поглощение в областях 0,52, 1,04 и 1,82  $\mu\text{мм}^{-1}$ . Поглощение в области 1,9  $\mu\text{мм}^{-1}$  III обу-

словлено переходом с переносом заряда с  $3p$  Cl на  $3d$  Cu AO, а поглощение в областях 0,7 и 1,1 мкм<sup>-1</sup> —  $d-d$ -переходами  $^2\Sigma_g^+ \rightarrow ^2\Delta_g$  и  $^2\Sigma_g^+ \rightarrow ^2\Pi_g$ . Анализ заселенности MO по Малликену показал, что: 1) в соединении I для состояния  $^5\Sigma_g^+$  атом Cr имеет конфигурацию  $3d^{4.6}4p^{0.4}$ , а формальные заряды  $\text{Cr}^{1.04+}$  и  $\text{Cl}^{0.52-}$ ; 2) в соединении II для состояния  $^4\Sigma_g^-$  электронная конфигурация атома Co  $3d^{7.4}4s^{0.1}4p^{0.4}$  с формальными зарядами на атомах  $\text{Co}^{1.02+}$  и  $\text{Cl}^{0.51-}$ ; 3) в соединении III для состояния  $^2\Sigma_g^+$  атом Cu имеет конфигурацию  $3d^94s^{0.5}$ .

С. Б. Никишенко

ЩА  
и к

August 6207 1978

CrCl<sub>2</sub>

CoCl<sub>2</sub>

CuCl<sub>2</sub>

126.000X,  
faster

(+2) X

88: 43223j Ab initio molecular orbital calculations of the ground and excited states of the monomeric linear dichlorides MCl<sub>2</sub> (where M = chromium, cobalt, or copper). Garner, C. David; Hillier, Ian H.; Wood, Carol (Chem. Dep., Univ. Manchester, Manchester, Engl.). *Inorg. Chem.* 1978, 17(1), 168-72 (Eng). Self-consistent field and CI calcns. were performed to describe the ground and excited states of CrCl<sub>2</sub>(g), CoCl<sub>2</sub>(g), and CuCl<sub>2</sub>(g). The calcd. transition energies are sensitive to the configurations included but good agreement with exptl. data was obtained in each case. From these ab initio calcns. the absorptions at  $\approx 0.54$  and  $0.9 \mu\text{m}^{-1}$  in the electronic spectrum of CrCl<sub>2</sub>(g) can be assigned to the transitions  $^5\Sigma_g^+ \rightarrow ^5\Pi_g$  and  $^5\Sigma_g^+ \rightarrow ^5\Delta_g$ , resp. The ground state of CoCl<sub>2</sub>(g) is suggested to be  $^4\Phi_g$  and the absorptions in the electronic spectrum at  $0.52$ ,  $104$ , and  $1.82 \mu\text{m}^{-1}$  are assigned to the transitions  $^4\Phi_g \rightarrow ^4\Delta_g$ ,  $^4\Phi_g \rightarrow ^4\Sigma_g^+$ , and  $^4\Phi_g \rightarrow ^4\Pi_g$ , resp. The

absorption in the electronic spectrum of CuCl<sub>2</sub>(g) at  $\approx 1.9 \mu\text{m}^{-1}$  is considered to arise from a Cl 3p to Cu 3d charge-transfer transition, while the structured absorption band occurring between  $7$  and  $11 \mu\text{m}$  is assigned to the "d-d" transitions  $^2\Sigma_g^+ \rightarrow ^2\Delta_g$  and  $^2\Sigma_g^+ \rightarrow ^2\Pi_g$ .

C.H. 1988, 88A/6

*CrCl<sub>2</sub>*

*1978*

19 Б97 Деп. Изучение геометрической структуры основных молекулярных форм пара над  $\text{CrCl}_2$  методом газовой электронографии. Купреев В. Н., Слепнев Г. Е., Засорин Е. З., Татаринцев А. В. Белорус. технол. ин-т. Минск, 1978. 11 с., ил., библиогр. 17 назв. (Рукопись деп. в ОНИИТЭХИМ, Черкассы 21 июня 1978 г., № 1793/78 деп.).

*Составлено  
и согласовано*

Экспериментальная дифракционная картина, полученная в области  $S=2,6-22,6 \text{ \AA}^{-1}$ , определяется в основном рассеянием на мономерных и димерных молекулах дихлорида хрома. Найденное соотношение мономер — димер близко к значению, полученному масс-спектрометрич. методом. В предположении, что димерная молекула  $\text{Cr}_2\text{Cl}_4$  имеет мостиковую структуру, а концевые межъядерные расстояния хром — хлор совпадают с расстоянием хром — хлор в мономере, получены след. основные параметры димера:  $r_a(\text{Cr}-\text{Cl})_{\text{мост}}=2,34 \pm 0,01 \text{ \AA}$ ;  $\text{Cl}_{\text{мост}}-\text{Cr}-\text{Cl}_{\text{мост}}=112 \pm 2^\circ$ . Оптим. структурные параметры  $\text{CrCl}_2$ :  $r_a(\text{Cr}-\text{Cl})=2,199 \pm 0,005 \text{ \AA}$ ;  $l_a(\text{Cr}-\text{Cl})=0,082 \pm 0,003 \text{ \AA}$ ;  $r(\text{Cr}-\text{Cl})=2,199 \pm 0,005 \text{ \AA}$ ;  $l_a(\text{Cl}\cdots\text{Cl})=0,17 \pm 0,02 \text{ \AA}$ . Согласование расчетных и эксперим. значений амплитуд колебаний и эффекта сокращения свидетельствует в пользу линейной равновесной конфигурации молекулы.

Автореферат

*2.1978/19*

1978

$\text{CrCl}_2$ ,  $\text{Cr}_2\text{Cl}_4$  (структур. параметр)

Купреев В. Н.,

Электронографическое исследование  
строения комплексных соединений  
на основе хлоридов иодидных цепей  
ионохрома, Минск,  
1978.

Cr Cl<sub>2</sub>

Cr<sub>2</sub> Cl<sub>4</sub>

Cl<sub>2</sub> O<sub>2</sub>  
empyxt

1978

Кирилл В. И.

Автограферовий Р.Х.И.

$\text{CrCl}_2$

$\text{MnCl}_2$

$\text{FeCl}_2$

$\text{CoCl}_2$

$\text{NiCl}_2$

фотосел.  
спектр

+4

ф. 1980 № 2

октябрь 9728 1980

12 Д328. Фотоэлектронные спектры и электронная структура дихлоридов переходных металлов  $\text{MCl}_2$  ( $\text{M} = \text{Cr}, \text{Mn}, \text{Fe}, \text{Co}, \text{Ni}$ ). Photoelectron spectra and electronic structure of the transition metal dichlorides,  $\text{MCl}_2$  ( $\text{M} = \text{Cr}, \text{Mn}, \text{Fe}, \text{Co}, \text{Ni}$ ). Lee Edmond P. F., Potts Anthony W., Doran Mark, Hillier Jan H., Delaney John J., Hawksworth Roger W., Guest Martyn F. «J. Chem. Soc. Faraday Trans.», 1980, Part 2, 76, № 5, 506—519 (англ.)

Изучены HeI- и HeII-фотоэлектронные спектры дихлоридов переходных металлов  $\text{MCl}_2$  ( $\text{M} = \text{Cr}, \text{Mn}, \text{Fe}, \text{Co}, \text{Ni}$ ) (I—V). Первые вертикальные потенциалы ионизации I—V равны (в эВ): 9,97; 11,03; 10; 10,60; 11,23. Фотоэлектронные спектры I—V интерпретированы при помощи расчетов потенциалов ионизации в рамках неэмпирич.  $\Delta$  ССП-метода и РВХ $\alpha$ -метода, анализа изменений интенсивностей полос в HeI- и HeII-спектрах. Отмечено, что идентификация полос, относящихся к удалению  $d$ -электронов из атомов M затруднена. Обсуждено выполнение теоремы Купманса при удалении  $d$ -электронов. М. Библ. 20. Ю. В. Чижов

14170

омник

отмечен 9728

1980

CrCl<sub>2</sub>

MnCl<sub>2</sub>

FeCl<sub>2</sub>

CoCl<sub>2</sub>

NiCl<sub>2</sub>

дихлориды

спектр. (F4) 8

X. 1980/2/1

21 Б114. Фотоэлектронные спектры и электронное строение дихлоридов переходных металлов  $MCl_2$  ( $M=Cr, Mn, Te, Co, Ni$ ). Lee Edmond P. F., Potts Anthony W., Doran Mark, Hillier Ian H., Delaney John J., Hawksworth Roger W., Guest Martyn F. Photoelectron spectra and electronic structure of the transition metal dichlorides,  $MCl_2$ , ( $M=Cr, Mn, Fe, Co, Ni$ ). «J. Chem. Soc. Faraday Trans.», 1980, Part 2, 76, № 5, 506—519 (англ.)

С использованием источников возбуждения Не-I и Не-II исследованы фотоэлектронные спектры (ФЭС) дихлоридов переходных металлов  $MCl_2$  ( $M=Cr, Mn, Fe, Co, Ni$ ). Электронное строение  $CrCl_2$ ,  $MnCl_2$  и  $NiCl_2$  рассчитано методом ССП МО ЛКАО в базисе 49 группированных гауссовых орбиталей при линейной геометрич. конфигурации. Потенциалы ионизации (ПИ) дихлоридов Cr, Mn и Ni оценены по теореме Кулменса и в приближении  $\Delta$ ССП; для этих молекул они были вычислены также методом ограниченного конфигурац.

отмечен 14170

отмечен

взаимодействия (КВ), учитывающего конфигурации, получающиеся при удалении одного электрона с МО основного состояния молекул. Для сравнения расчеты электронного строения дихлоридов  $\text{Cr}$ ,  $\text{Mn}$  и  $\text{Ni}$  проведены методом ССП— $X_{\alpha}$  рассеянных волн ( $X_{\alpha}$ -РВ) в приближении перекрывающихся сфер; ПИ вычислены в приближении переходного состояния. Ионизация МО лигандов хорошо описывается в рамках теоремы Купменса и метода  $\Delta$ ССП. В расчетах  $X_{\alpha}$ -РВ энергетич. распределение этих ПП вдоль спектра получено больш. чем наблюдается в эксперим. ФЭС. ПИ атома металла неправильно передаются в расчетах как с использованием теоремы Купменса, так и метода  $\Delta$ ССП. Правильный порядок следования ПИ  $d$ -уровней атомов металла в дихлоридах получен в расчетах методами КВ и  $X_{\alpha}$ -РВ, в соответствии с к-рыми основная доля ПИ  $d$ -уровней металла сосредоточена в первой полосе ФЭС.

И. А. Тополь

Ommec 9728

1980

$\text{CrCl}_2$

$\text{MnCl}_2$

$\text{FeCl}_2$

$\text{CoCl}_2$

$\text{NiCl}_2$

(premod. check.)

C.A. 1980, 33, N10

93:104369p Photoelectron spectra and electronic structure of the transition metal dichlorides,  $\text{MCl}_2$  ( $\text{M} = \text{chromium, manganese, iron, cobalt, nickel}$ ). Lee, Edmond P. F.; Potts, Anthony W.; Doran, Mark; Hillier, Ian H.; Delaney, John J.; Hawksworth, Roger W.; Guest, Martyn F. (Phys. Dep., Kings Coll., London, Engl. WC2R 2LS). *J. Chem. Soc., Faraday Trans.* 2 1980, 76(5), 506-19 (Eng). The He I and He II

photoelectron spectra of the title compds. were recorded and interpreted using scattered-wave-X $\alpha$  and ab initio MO calcns. The assignment of ligand levels is given accurately by use of Koopmans' theorem. The metal ionization energies are given incorrectly by both Koopmans' theorem and the  $\Delta\text{SCF}$  method but are predicted accurately by a CI method allowing for orbital relaxation occurring on ionization.

Ommec 14170

Ommec

Ellz

Om. 23327

1978

Rosseinsky D. R.,  
Dorrity G. A.,

Джекмпсон,  
Чекмп.

Coordinat. Chem. Rev.,  
1978, 25, 31-67.

CrCl<sub>2</sub>(2)

[Inv. 24989]

1981

Hargittai M.,  
Inorg. Chem. Acta,  
1981, 53, ~~#~~ d111-d112.



доп. № 42. Ней-фотоэлектронные спектры некоторых газообразных дигалогенидов 3d-переходных металлов. The He(I) photoelectron spectra of some gaseous 3d-transition metal dihalides. MacNaughton R. M., Bloog J. E., Sherrrod R. E., Schweitzer Geo K. «J. Electron Spectrosc. and Relat. Phenom.», 1981, 22, № 1, 1—25 (англ.)

10995

Исследованы HeI-фотоэлектронные спектры паров над нагретой смесью порошка металла M и AgX (X=Cl, Br), а также паров  $(\text{AgCl})_3$  (I),  $(\text{AgBr})_3$  (II). Доминирующей составляющей состава пара были пары  $\text{MCl}_2$ , где M=Cr, Mn, Fe, Co, Ni (III—VII) и  $\text{MBr}_2$  (VIII—XII). Первые вертикальные потенциалы ионизации I—XII равны (в эВ): 10,2, 9,6, 9,9, 10,9, 10,1, 10,7, 11,4, 9,3, 10,3, 9,7, 9,9, 10,3. Фотоэлектронные спектры интерпретированы при помощи неэмпирич. метода расчетов потенциалов ионизации III—VII в приближении  $\text{PBX}_a$ , сравнения со спектрами родственных соединений. Показано, что для правильной интерпретации спектров соединений с неспаренными электронами необходимы расчеты с учетом спиновой поляризации. Установлено, что конфигурациями основного состояния для III, VIII являются  $\delta^2\pi^2\sigma^0$ , для IV, IX —  $\delta^2\pi^2\sigma^1$ , для V, X —  $\delta^3\pi^2\sigma^1$ , для VI, XI —  $\delta^3\pi^3\sigma^1$ , VII, XII —  $\delta^4\pi^4\sigma^0$ . Библ. 32.

Ю. В. Чижов

СrCl<sub>2</sub>

MnCl<sub>2</sub>

FeCl<sub>2</sub>

CoCl<sub>2</sub>

NiCl<sub>2</sub>

CrBr<sub>2</sub>

MnBr<sub>2</sub>

FeBr<sub>2</sub>

CoBr<sub>2</sub>

NiBr<sub>2</sub>

AgCl<sub>3</sub>

AgBr<sub>3</sub>

+ II

(γ)

доп. 2.1.

спектры

д. 1981. N 2

1981

CuCl<sub>2</sub>  
 MnCl<sub>2</sub>  
 FeCl<sub>2</sub>  
 CoCl<sub>2</sub>  
 NiCl<sub>2</sub>  
 ZnCl<sub>2</sub>  
 Ил. спектры  
 +5   
 № 1981/174

Спектр 10995

14 Б148. Фотоэлектронные спектры с возбуждением He-I некоторых газообразных дигалогенидов переходных 3d-металлов. MacNaughton R. M., Bloog J. E., Shergold R. E., Schweitzer Geo K. The He(I) photoelectron spectra of some gaseous 3d-transition metal dihalides. «J. Electron Spectrosc. and Relat. Phenom.», 1981, 22, № 1, 1—25 (англ.)

С использованием источника возбуждения He-I проведены измерения фотоэлектронных спектров (ФЭС) паров сильно нагретых смесей порошка металла и AgX ( $X=Cl$  и Br), а также паров  $(AgCl)_3$  и  $(AgBr)_3$ . Результаты измерений свидетельствуют о том, что практически все исследованные пары, за исключением паров смеси Ni—AgBr, состоят из дигалогенидов  $MX_2$  ( $M=Cr, Mn, Fe, Co, Ni$ ) или  $(CuX)_3$  ( $X=Cl, Br$ ). ФЭС  $(AgBr)_3$  аналогичен ФЭС  $(AgCl)_3$ . ФЭС  $(AgCl)_3$ ,  $(CuCl)_3$  и  $(CuBr)_3$  идентичны ФЭС этих соединений, известным из ранее опубликованных работ. Методом ССП- $X_{\alpha}$  рассеянных волн ( $X_{\alpha}$ -PB), в приближении перекрывающихся атомных сфер с использованием спин-поляризованного и спин-неполяризованного вариантов

метода рассчитано электронное строение молекул  $\text{CrCl}_2$ ,  $\text{MnCl}_2$ ,  $\text{FeCl}_2$ ,  $\text{CoCl}_2$ ,  $\text{NiCl}_2$  и  $\text{ZnCl}_2$ . Для всех молекул, кроме  $\text{CuCl}_2$ , проведены расчеты низко- и высокоспиновых конфигураций. В  $\text{MnCl}_2$  и  $\text{CoCl}_2$  рассчитаны также конфигурации  $\delta^3\pi^2\sigma^0$  и  $\delta^3\pi^2\sigma^1$  соотв. На основании рассчитанных одноэлектронных энергий, а также неопубликованных данных Поттса по ФЭС с возбуждением Не-II дихлоридов переходных  $3d$ -металлов проведена интерпретация структур эксперим. ФЭС в соединениях  $\text{MCl}_2$ . По аналогии интерпретированы также структуры ФЭС соединений  $\text{MBr}_2$ . С учетом отнесения эксперим. ФЭС установлено, что валентными конфигурациями основного состояния являются  $\delta^2\pi^2\sigma^0$  для  $\text{CrCl}_2$  и  $\text{CrBr}_2$ ,  $\delta^2\pi^2\sigma^1$  для  $\text{MnCl}_2$  и  $\text{MnBr}_2$ ,  $\delta^3\pi^2\sigma^1$  для  $\text{FeCl}_2$  и  $\text{FeBr}_2$ ,  $\delta^3\pi^3\sigma^1$  для  $\text{CoCl}_2$  и  $\text{CoBr}_2$ ,  $\delta^4\pi^4\sigma^0$  для  $\text{NiCl}_2$ . Во всех случаях, за исключением  $\text{CoX}_2$ , по данным расчетов полных энергий методом  $X\alpha$ -РВ конфигурациям, полученным на основании отнесения эксперим. ФЭС, соответствует наименьшее значение полной энергии молекул. В  $\text{CoX}_2$  полученная конфигурация соответствует 1-му возбужденному состоянию, однако разность энергий между этим и основным состоянием предельно мала.

И. А. Тополь

Gr Clz

10m. 17726

1983.

Lobba B.M.,

UK crosscut  
housewall

M. neopan. XIII, 1983, 28, 10, 2689-91.

$\text{CrCl}_2^-$

1983

Makarov A. V., Nikitin O. T.

(Macrocyclic  
 $\text{CrCl}_3$ )

Vestn. Mosk. Univ., Ser.  
2: Khim. 1983, 24 (5),  
503-4.

(cav.  $\text{Cl}^-$ ; III)

$\text{CrCl}_2$

(Om. 23143) 1985

Hargittai Magdolna,  
Törőfevera Olga V., et al.

( $\chi_e, \lambda$ )

Inorg. Chem. 1985, 24  
(23), 3963-5.

● (crys.  $\text{VCl}_2$ ;  $\underline{\text{III}}$ )

CrCl<sub>2</sub>(2) (Om. 28629) 1987

Ogden J.S., Wyatt R.S.,

M.N.,  
K<sub>P</sub>

J. Chem. Soc. Dalton  
Trans., 1987, N.Y., 859 -  
-865.

(cu. CrCl<sub>4</sub>; III)

Б.С.2

130353

1988

Краснов К. С.,  
Свищевенко Н. В.,

д.р.

ОНИИТЕХИМ.

(одзор)

Den. N 378-XI-86,  
Черкассы, 1988.

*CrCl<sub>2</sub>*

*От 31.8.83*

*1989*

№ 10 Д54. Является ли CrCl<sub>2</sub> линейной или изогнутой молекулой? Исследование неэмпирическим методом МО. Is CrCl<sub>2</sub> linear or bent? An ab initio MO study / Smith Stephen, Hillier Ian H. // J. Chem. Soc. Chem. Commun. — 1989. — № 9. — С. 539—540. — Англ.

Неэмпирическим методом ССП МО ЛКАО в базисе гауссовых ф-ций  $14s9p6d/12s9p$ , сгруппированном в  $10s8p3d/6s5p$ , а также с учетом конфигурац. взаимодействия исследовано электронное строение CrCl<sub>2</sub> в состояниях  $^5\Sigma_g^+$ ,  $^5A_1$ ,  $^5\Pi_g$ ,  $^5B_2$  и  $^5A_2$ . Обнаружено, что основным является состояние  $^5\Sigma_g^+$  с линейной геометрией (длина связи 2,315 Å) и конфигурацией  $1\delta_g^2 3\pi_g^2$ . Также линейно следующее по энергии состояние  $^5\Pi_g$  (2,309 Å). В остальных состояниях молекула изогнута. В то же время отмечено, что потенц. кривые деформации являются пологими. Рассчитанные частоты деформационного, симметричного и асимметричного валентных колебаний равны 92, 320 и 464 см<sup>-1</sup> (эксперим. значение 457). В. Л. Лебедев

*оф. 1989, № 10*

*CrCl<sub>2</sub>*

*07.31883*

*1989*

22 Б1026. Является ли молекула CrCl<sub>2</sub> линейной или изогнутой? Неэмпирическое исследование методом MO. Is CrCl<sub>2</sub> linear or bent? An ab initio MO study / Smith St., Hillier I. H. // J. Chem. Soc. Chem. Compt. — 1989. — № 9. — С. 539—540.— Англ.

Неэмпирическим методом ССП в широком базисе с учетом конфигурац. взаимодействия рассчитана электронная структура и геометрия молекулы CrCl<sub>2</sub> в 2 электронных конфигурациях. Основным состоянием найдено <sup>5</sup>Σ, отвечающее конфигурации 1δ<sub>g</sub><sup>2</sup>3π<sub>g</sub><sup>2</sup> (приведены только MO 3d-характера) и линейной геометрии; в конфигурации 1δ<sub>g</sub><sup>2</sup>3π<sub>g</sub><sup>1</sup>9σ<sub>g</sub><sup>1</sup> молекула также линейна, причем возбужденное состояние <sup>5</sup>P<sub>g</sub> лежит на 0,28 эВ выше основного состояния. Во всех исследованных состояниях потенциальные кривые, отвечающие изгибу молекулы, очень пологие. Вычисленные частоты колебаний в основном состоянии составляют 92 см<sup>-1</sup> для деф. кол. и 320 и 464 см<sup>-1</sup> соотв. для симм. и асимм. вал. кол.

В. К. Михалко

*X. 1989, N 22*

R. C. D.

[Om. 37 662]

1994

creamp  
Beattie I.R., Spicer M.D.,  
Young N.A.,

Manganese, J. Chem. Phys., 1994,  
100, N12, 3700 - 3705  
Forsen

ArCl<sub>2</sub>

(On. 38066)

1995

Hildebrand D.L.,

D<sup>0</sup><sub>298</sub>

J. Chem. Phys., 1995,  
103 (7), 2634 - 2641

Collected

Um. 38405

1996

Korings L.J.N.,

M.N. High Temperat- and Materi-  
als Science, 1996, 25,  
105-113.

Entered On 38777, On 38778

1997

127: 113669j Bonding, bending and the ground state of CrCl<sub>2</sub>.  
Bridgeman, Adam J.; Bridgeman, Catherine H. (University Chemical  
Laboratories, Lensfield Road, Cambridge, UK CB2 1EW). *Chem. Phys.  
Lett.* 1997, 272(3,4), 173–177 (Eng). Elsevier. Local d.-functional cal-  
cns. within the linear combination of Gaussian-type orbitals framework

on the CrCl<sub>2</sub> mol. predict a linear  $^5\Pi_g$  ground state. This ground state  
is unusual in having larger  $\pi$  than  $\sigma$ -bonding and differs from that  
predicted by earlier work. The linear geometry is consistent with  
spectroscopic studies of this mol. but is at variance with a recent calcn.  
of the third law entropy. A reanal. of the exptl. entropy, allowing for  
the likelihood of impurities, appears to be consistent with the theor.  
prediction of a linear mol.

(X677g 1127-  
CML/UKM.)

C.A. 1997, 127, n8

*CrCl<sub>2</sub>*

1997

ROMERS  
Robert H.  
 $\chi^5B_2$  COCM

127: 86382b Chromium dichloride: the unusually flat bending potential of the  $^5\text{II}_g$ -derived  $^5\text{B}_2$  ground state. Jensen, Vidar R. (Department of Chemistry, University of Bergen, N-5007 Bergen, Norway). *Mol. Phys.* 1997, 91(1), 131-137 (Eng), Taylor & Francis. Modern quantum chem. methods have been used to study the three lowest-lying electronic states of CrCl<sub>2</sub>. The calcns. were performed at the single, double and perturbative triple excitation coupled cluster (CCSD(T)) levels, at the modified coupled pair functional level, and also with a hybrid d. functional method. For linear structures, the three lowest states were found to be (in order of increasing energy):  $^5\text{II}_g$ ,  $^5\Sigma_g^+$  and  $^5\Delta_g$ . This order implies a permutation of the two lowest states compared with previous reports. While the upper two linear states were found to represent min. on their resp. potential curves of bending, the  $^5\text{II}_g$ -derived  $^5\text{B}_2$  ground state is found to be unusually flat, affording no conclusive evidence as to where the true min. is located. However, the isotopic shift pattern calcd. for the asym. stretching mode in a bent mol. is different from that obsd. in matrix isolation IR studies, suggesting that CrCl<sub>2</sub> is linear or nearly linear when trapped in a matrix.

C.A. 1997, 127, N6